## インピーダンス特性曲線を用いた分極抵抗値の逆推定法の適用性評価

新日本製鐡(株) 正会員 松岡 和巳 大阪大学大学院 フェロー 松井 繁之

### 1.まえがき

最近、鉄筋の腐食モニタリング手法として、分極抵抗値による腐食評価手法の研究が進められている。この手法に関しては、これまでも多くの研究があり、ラボ実験によりその妥当性が検証されつつある。しかしながらこの手法を構造物に適用する際には、測定対象となる鉄筋の面積が対極の面積に比べて大きく、鉄筋の表面を限定して分極できないという問題があり、これが適用上の大きな障害となっている。そこで、筆者らはコンクリート中の鉄筋を対象とした交流インピーダンス測定状況を3次元BEM解析 1)によりシミュレートすることで得られたインピーダンス特性曲線を用いて見掛けのインピーダンスから単位面積あたりで定義される真のインピーダンスを逆推定する手法 2)を開発した。本報告では、この手法を港湾構造物中に18年間埋設暴露された鉄筋に適用し、その妥当性について検討したので以下にその内容を報告する。

## 2.実験と解析の概要

(1)暴露鉄筋仕様及びコンクリート性状:測定対象とした鉄筋は,山口県光市に位置する係留ドルフィン上面(図1)のコンクリート中に昭和59年から18年間埋設暴露されていた長さ100cmの電炉鉄筋D16(No.169,170,171)とSUS304鉄筋D13(No.181,182,183)である。打設コンクリートは、W/C=50%,スランプ8cmで設計されたもので,調査時のフェノールフタレン試験による中性化深さは1mm以下,また,JCIによる塩分含有量試験によれば、鉄筋埋設位置の70~80mmにおける全塩分量は0.01~0.035%であった。回収後のSUS鉄筋には発錆は見られなかったが、電炉鉄筋には面積比で2~5%程度の発錆が観察された。

(2)インピーダンス測定:測定に先立ち,図2に示すように測定対象とする埋設鉄筋の一部を10cm 程度ハツリ出した後,水道水によりコンクリート表面を十分に湿らせた。測定は,図3に示す要領で筆者らが開発した二重対極式センサーに二重パルス重畳方式の腐食モニターを用い3電極方式の測定(以下、センサー測定という)を行なった。測定周波数は,高周波  $f_H$  = 400Hz,低周波  $f_L$  = 0.1Hz とし,各々で見掛けのインピーダンス  $Rt_{ap}(f_H)$ ,  $Rt_{ap}(f_L)$ を測定した。また,正確な分極抵抗値 Rp を測定するためにステンレス製の大型対極(W55×L820×t1mm)を鉄筋上に配置し近傍に参照極を置いた測定(以下、大型対極測定という)も行なった。測定周波数は上記と同じとした。

(3) インピーダンス特性曲線計算: 3次元 BEM 解析による



図 1 鉄筋暴露場所 (ドルフィン上)

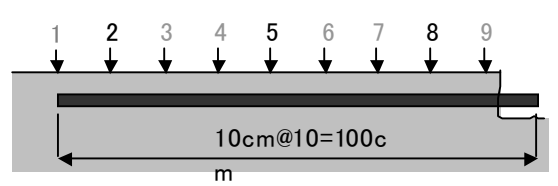


図 2 鉄筋寸法と測定位置

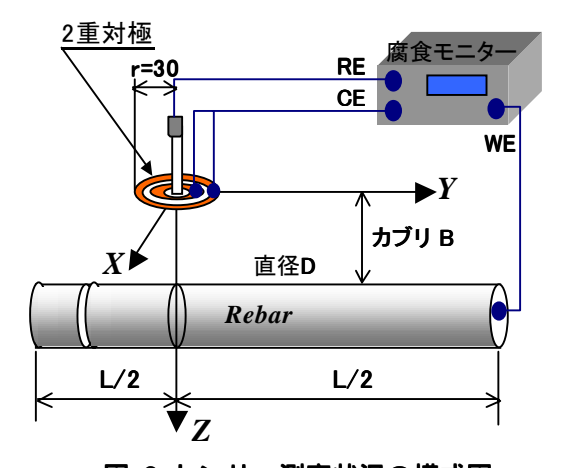


図 3 センサー測定状況の模式図

**Keyword**: 鉄筋腐食,モニタリング,AC インピーダンス,BEM,分極抵抗連絡先:〒293-8511 富津市新富 20-1, Tel0439-80-3090, Fax.0439-80-2745

インピーダンス測定状況のシミュレーションでは、比抵抗 =1k cm を有する半無限コンクリートの表面下、カブリ B=70.80mm の位置に、長さ L=90cm、 径 D=13.16mm の鉄 筋が埋設されているモデル(図3)を用いた。二重対極は鉄 筋の中央部直上に配置している。実際の解析はこの半無限領 域を 1/4 対称モデルとして扱い,対極表面は Isoparametric 要 素を用いて半径方向6分割,周方向4分割とした。鉄筋表面 は周方向 4 分割、長さ方向 45 分割とした。そして、鉄筋界 面は、図4に示すような等価回路のインピーダンス絶対値を 線形な分極抵抗 Rp でモデル化し全要素で同一とした。上記 モデルを使用して鉄筋径,カブリの各々の組合せについて分 極抵抗を  $Rp=10^{0},10^{1}\sim,10^{6}$  の 7 Case 計算をおこない,図 5 に示すインピーダンス特性曲線を得た。ここで, X 軸には真 のインピーダンス Rt=Rs(1+Rp/Rs) を , Y 軸には見掛けのイ ンピーダンス Rtapを各々Rs=B で規準化しプロットした。 (3)真の分極抵抗値とその推定値:センサー測定で得られた見 掛けのインピーダンス  $Rt_{ap}(f_H)$ ,  $Rt_{ap}(f_L)$ を用いて,図5に示 すインピーダンス特性曲線を用いた逆推定法<sup>2)</sup>を適用し真の 分極抵抗の推定値 Rp'を求めた。この概略は図 6 に示す通り で, Step-: A 点を読取り Rs を求める。Step-: B 点を計 算し曲線との交点から C 点を読取り Rp を算出する手順とな る。また,真の分極抵抗 Rp は,大型対極測定から得られた 分極抵抗に鉄筋の表面積を乗じて求めた。

## 3.解析結果および考察

上記で求めた真の分極抵抗 Rp とその推定値 Rp'を図7に示す。センサー測定値は,各々測定点 2,5,8 で測定された値を示している。No.169 の電炉鉄筋及び No.182 の SUS304 鉄筋でセンサー測定値に多少大きい値が見られるが,他ではほぼ大型対極測定値は,センサー測定値の平均値に近い値を示している。これらの差異は,センサー測定は局所的な鉄筋の分極特性を,大型対極測定は,鉄筋全体の平均的な分極特性を測定していることによるものと考えられる。

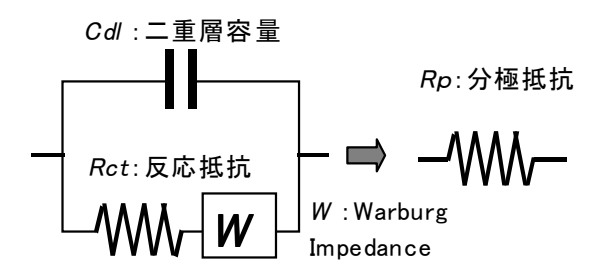
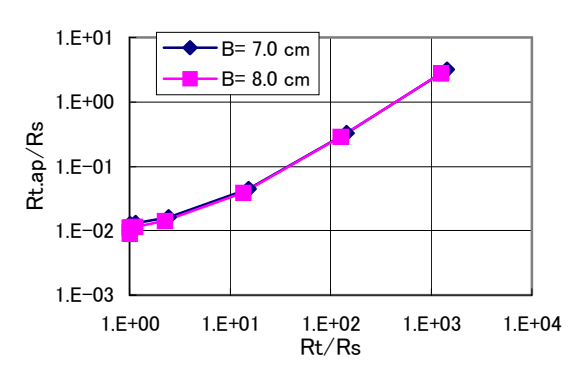


図 4 等価回路のモデル化



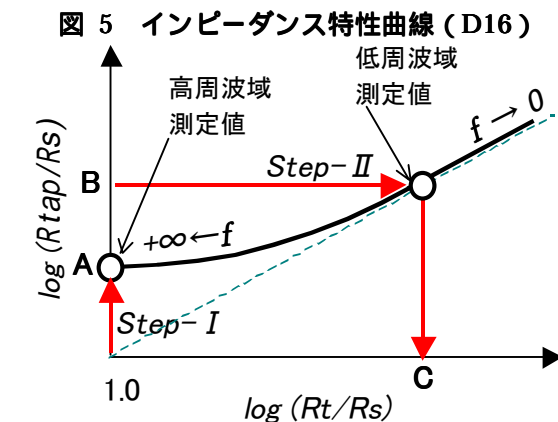


図 6 インピーダンス特性曲線による逆推定法

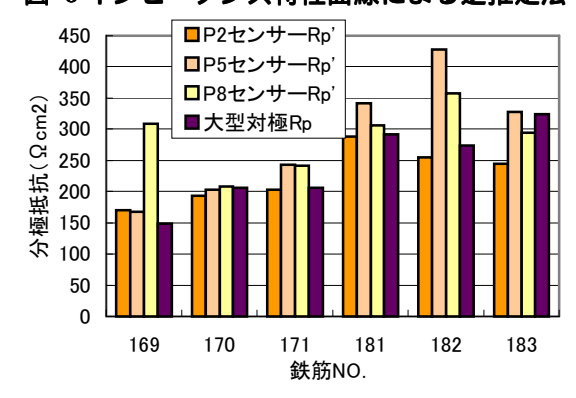


図 7 鉄筋別の測定値比較

# 4.まとめ

実構造物に長期暴露された鉄筋を対象として、インピーダンス特性曲線を用いた分極抵抗の逆推定法の適用性評価をおこなった結果,逆推定値は大型対極測定値と近い値を示し,その妥当性が認められた。

## 参考文献:

- 1) 松岡, 松井: 交流インピーダンス測定におけるコンクリート中電流分布特性に関する研究,土木学会第 57 回年次学術講演会, V-169,2002.9
- 2) 松岡, 松井: 数値解析を用いた交流インピーダンス測定値の定量的評価法について、コンクリート工学年次論文集,Vol.25, 2003.7(投稿中)